

М. А. Голуб, Л. Л. Досколович, Н. Л. Казанский,
И. Н. Сисакян, В. А. Соффер, С. И. Харитонов

МЕТОД СОГЛАСОВАННЫХ ПРЯМОУГОЛЬНИКОВ ДЛЯ РАСЧЕТА ФОКУСАТОРОВ В ПЛОСКУЮ ОБЛАСТЬ

1. ВВЕДЕНИЕ

Геометрооптическому расчету фокусаторов в фокальную кривую посвящено большое число работ [1, 2, 3, 4]. Расчет фокусаторов в плоскую область геометрооптическим методом менее исследован. Фокусировка освещдающего гауссового пучка в прямоугольник рассмотрена в работе [5] геометрооптическим методом, а в работах [6, 7] численно исследована градиентными методами. Общего метода расчета фокусаторов в плоскую область в настоящее время не разработано. В данной работе предложен новый численный метод расчета и полного исследования фокусаторов в сложные плоские области.

2. ПОСТАНОВКА ЗАДАЧИ ФОКУСИРОВКИ ЛАЗЕРНОГО ИЗЛУЧЕНИЯ В ПЛОСКУЮ ОБЛАСТЬ

Для уяснения физической сущности задачи фокусировки лазерного излучения рассмотрим рис. 1. На фокусатор Φ с апертурой G плоскости $\vec{u} = (u, v)$ падает пучок лазерного излучения с интенсивностью $I_0(\vec{u})$, эйконалом $\Psi_0(\vec{u})$, т. е. с комплексной амплитудой

$$W_0(\vec{u}) = \sqrt{I_0(\vec{u})} \exp[ik\Psi_0(\vec{u})], \quad \text{где } k = \frac{2\pi}{\lambda}, \quad \lambda - \text{длина волны.}$$

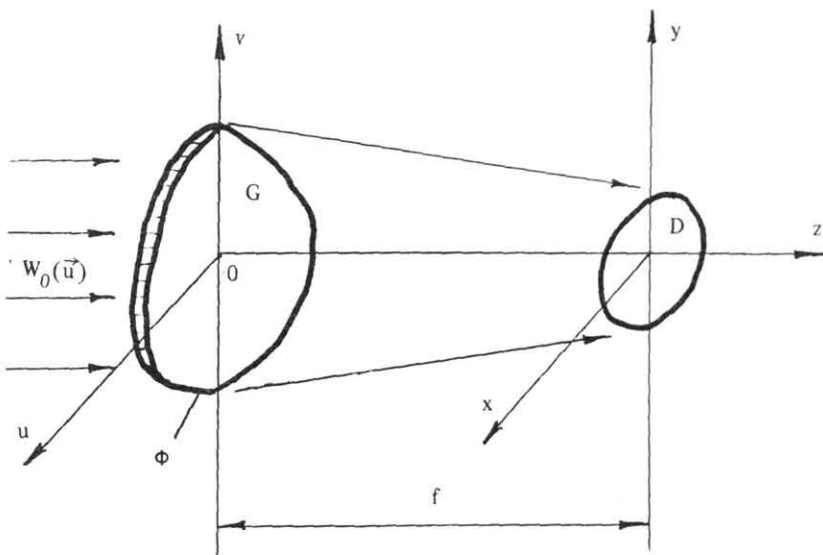


Рис. 1. Геометрия задачи фокусировки

В дальнейшем предполагается, что область G соответствует форме сечения падающего пучка. Требуется сформировать в области фокусировки D плоскости $\vec{x} = (x, y)$ волновое поле с заданным распределением интенсивности $I(\vec{x})$. Решение задачи фокусировки сводится к отысканию фазовой функции фокусатора $\varphi(\vec{u})$, обеспечивающей формирование требуемого волнового поля из освещдающего пучка.

3. ГЕОМЕТРООПТИЧЕСКОЕ РЕШЕНИЕ ОБРАТНОЙ ЗАДАЧИ ФОКУСИРОВКИ В ПЛОСКУЮ ОБЛАСТЬ

Геометрооптическая фазовая функция фокусатора $\varphi(\vec{u})$ в параксиальном приближении может быть получена из решения следующей системы уравнений:

$$\left\{ \begin{array}{l} \varphi(\vec{u}) = k[\psi(\vec{u}) - \psi_0(\vec{u})] \\ x = u + f \Psi'_u(\vec{u}) \\ y = v + f \Psi'_v(\vec{u}) \\ \frac{I_o(\vec{u})}{I(\vec{x})} = |x'_u y'_v - x'_v y'_u| \\ x'_u = y'_v, \end{array} \right. \quad (1)$$

где f - расстояние до плоскости фокусировки.

Решение вышеприведенной системы (1) в общем случае - очень сложная задача. Геометрооптическое решение задачи фокусировки существенно упрощается для прямоугольной апертуры фокусатора G , прямоугольной области фокусировки D при условии факторизуемости функций

$$W_0(\vec{u}) = W_1(u)W_2(v), \quad I(x) = I_1(x)I_2(y),$$

то есть $I_o(\vec{u}) = I_{o1}(u)I_{o2}(v)$, $\psi_0(\vec{u}) = \psi_{o1}(u) + \psi_{o2}(v)$.

В этом случае решение двух одномерных задач позволяет определить двумерную фазовую функцию фокусатора $\varphi(\vec{u}) = \varphi_1(u) + \varphi_2(v)$.

Фазовая функция $\varphi_1(u)$ одномерного (цилиндрического) фокусатора, осуществляющего заданное преобразование светового пучка, определяется из следующей системы уравнений:

$$\begin{cases} \varphi_1(u) = k [\psi_1(u) - \psi_{01}(u)] \\ x = u + f \frac{d\psi_1}{du} \\ \frac{I_{01}(u)}{I_1(x)} = \frac{dx}{du}, \quad u_0 \leq u \leq u_1, \quad x_0 \leq x \leq x_1. \end{cases} \quad (2)$$

Решение системы уравнений (2) существенно проще, чем решение системы уравнений (1). Например, для случая

$$I_1(x) = \begin{cases} I_1, & x_0 \leq x \leq x_1 \\ 0, & \text{иначе} \end{cases}$$

решение системы уравнений (2), имеет вид:

$$\varphi_1(u) = k \left(-\frac{u^2}{2f} + \frac{1}{f} \int_{u_0}^u \left[\frac{1}{I_1} \int_{u_0}^\xi I_{01}(\eta) d\eta - x_0 \right] d\xi - \psi_{01}(u) \right)$$

и, следовательно, двумерная фазовая функция фокусатора с прямоугольной апертурой в прямоугольную область фокусировки с постоянным распределением интенсивности имеет вид:

$$\begin{aligned} \varphi(\vec{u}) = k & \left(-\frac{u^2 + v^2}{2f} + \frac{1}{f} \int_{u_0}^u \left[\frac{1}{I_1} \int_{u_0}^\xi I_{01}(\eta) d\eta - x_0 \right] d\xi + \right. \\ & \left. + \frac{1}{f} \int_{v_0}^v \left[\frac{1}{I_1} \int_{v_0}^\xi I_{02}(\eta) d\eta - y_0 \right] d\xi - \psi_0(\vec{u}) \right), \end{aligned} \quad (3)$$

где (x_0, y_0) - координаты левого нижнего угла прямоугольника фокусировки.

4. МЕТОД СОГЛАСОВАННЫХ ПРЯМОУГОЛЬНИКОВ

При непрямоугольной форме хотя бы одной из областей G и D, даже при факторизуемых функциях $W_0(\vec{u})$, $I(\vec{x})$, фазовая функция фокусатора уже не факторизуется и имеет значительно более сложный вид. В работе [5] расчет фокусатора круглой апертуры в прямоугольник приведен путем сведения к фокусатору в отрезок с соответствующими поправками. В данной работе предлагается новый метод «согласованных прямоугольников» для расчета фокусаторов при областях D и G произвольной формы при факторизующемся освещающем пучке и факторизующейся функции интенсивности в фокальной области.

ти. По этому методу область G и область D аппроксимируются наборами прямоугольников G_i и D_i , $i = 1, N$ соответственно, и решается задача фокусировки из G_i в D_i . Таким образом, апертура фокусатора приближается набором $\tilde{G} = \bigcup_{i=1}^N G_i$ апертурных прямоугольников G_i , область фокусировки D также приближается набором $\tilde{D} = \bigcup_{i=1}^N D_i$ соответствующих фокальных прямоугольников D_i . Функции $I_0(\vec{u})$, $I_1(\vec{x})$ предполагаются продолженными в области \tilde{G} и \tilde{D} соответственно. Для каждого прямоугольного сегмента G_i рассчитывается фазовая функция $\phi_i(\vec{u})$, обеспечивающая фокусировку излучения в соответствующий фокальный прямоугольник D_i . Рассмотрим описанный способ расчета более детально.

Пусть апертура фокусатора G ограничена кривыми $V = g_1(u)$, $V = g_2(u)$ и прямыми $u = u_{\min}$, $u = u_{\max}$ (рис. 2), а область фокусировки D — кривыми $y = f_1(x)$, $y = f_2(x)$ и прямыми $x = x_{\min}$, $x = x_{\max}$ (рис. 3).

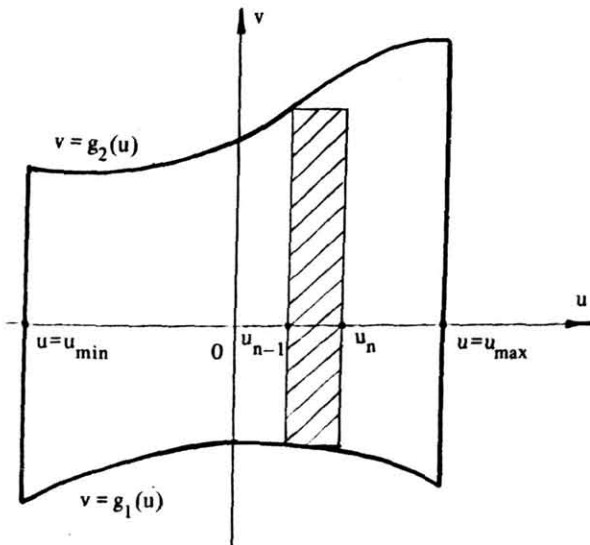


Рис. 2. Апертура фокусатора

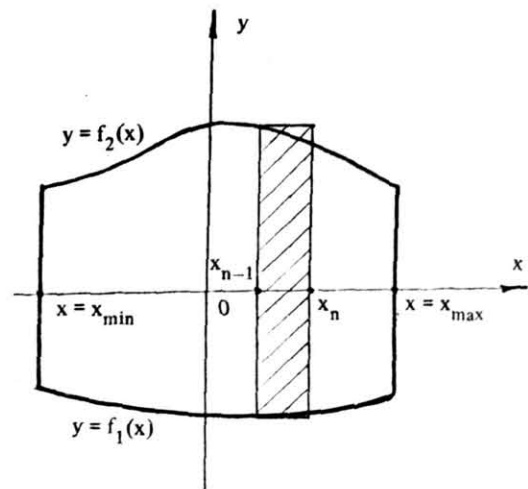


Рис. 3. Область фокусировки

Введем разбиение u_i , $i = 0, N$, $u_0 = u_{\min}$, $u_N = u_{\max}$ отрезка $[u_{\min}, u_{\max}]$ и апертурные прямоугольники $G_i = [u_{i-1}, u_i] \times [g_1(u_{i-1}), g_2(u_{i-1})]$. Разбиение x_i , $i = 0, N$, $x_0 = x_{\min}$, $x_N = x_{\max}$ отрезка $[x_{\min}, x_{\max}]$ определяется из решения следующего нелинейного рекуррентного уравнения:

$$\int_{u_{i-1}}^{u_i} \int_{g_1(u_{i-1})}^{g_2(u_{i-1})} I_0(\vec{u}) d^2\vec{u} = \int_{x_{i-1}}^{x_i} \int_{f_1(x_{i-1})}^{f_2(x_{i-1})} I_1(\vec{x}) d^2\vec{x}. \quad (4)$$

Уравнение (4) получено исходя из сохранения светового потока при распространении света из апертурного прямоугольника G_i в соответствующий фокальный прямоугольник D_i .

$$W(\vec{x}) = \frac{ke^{ikf}}{2\pi if} A_0 \sum_{j=1}^N W_{j1} W_{j2},$$

$$W_{j1} = \int_{u_{j-1}}^{u_j} e^{i\varphi_{j1}(u)} e^{\frac{ik}{2f}(x-u)^2} du, \quad (8)$$

$$W_{j2} = \int_{g_1(u_{j-1})}^{g_2(u_{j-1})} e^{i\varphi_{j2}(v)} e^{\frac{ik}{2f}(y-v)^2} dv.$$

В случае синтеза фокусатора плоского пучка в область с постоянным распределением интенсивности фазовые функции $\varphi_{j1}(u)$, $\varphi_{j2}(v)$ содержат квадратичные и линейные по u , v члены соответственно, и, следовательно, вычисление интегралов W_{j1} , W_{j2} сводится к интегралу вида:

$$I(x; \xi_1, \xi_2, c, u_0, x_0) = \int_{\xi_1}^{\xi_2} \exp \left[\frac{ik}{f} \left(-\frac{u^2}{2} + \frac{c(u-u_0)^2}{2} + x_0 u + \frac{(x-u)^2}{2} \right) \right] du.$$

Путем несложных преобразований можно получить:

$$I(x; \xi_1, \xi_2, c, u_0, x_0) = \sqrt{\frac{2f}{kc}} e^{\frac{ikx}{2f}} e^{\frac{ik}{2f} (cu_0 + cu_0^2 - x_0 + x)} \times \times \left[\text{sign}(\gamma) C(\gamma) - \text{sign}(\gamma_1) C(\gamma_1) + i \left(\text{sign}(\gamma) S(\gamma) - \text{sign}(\gamma_1) S(\gamma_1) \right) \right], \quad (9)$$

где $\text{sign}(x) = \begin{cases} 1, & x > 0 \\ 0, & x = 0 \\ -1, & x < 0 \end{cases}$

$$\gamma = \sqrt{\frac{kc}{2f}} (\xi_2 - u_0 - \frac{x_0}{c} + \frac{x}{c}),$$

$$\gamma_1 = \sqrt{\frac{kc}{2f}} (\xi_1 - u_0 - \frac{x_0}{c} + \frac{x}{c}),$$

$C(x)$, $S(x)$ – интегралы Френеля,

$$C(x) = \int_0^x \cos(t^2) dt, \quad S(x) = \int_0^x \sin(t^2) dt.$$

Используя (9), поле от фокусатора плоского пучка в произвольную плоскую область с постоянным распределением интенсивности можно представить в виде:

$$W(\vec{x}) = \frac{ke^{ikf}}{2\pi if} A_0 \sum_{j=1}^N \left[e^{i\tilde{\phi}_j} I(x; u_{j-1}, u_j, \frac{x_j - x_{j-1}}{u_j - u_{j-1}}, u_{j-1}, x_{j-1}) \times \right. \\ \times I(y; g_1(u_{j-1}), g_2(u_{j-1}), \frac{f_2(x_{j-1}) - f_1(x_{j-1})}{g_2(u_{j-1}) - g_1(u_{j-1})}, \\ \left. g_1(u_{j-1}), f_1(x_{j-1})) \right]. \quad (10)$$

7. РЕЗУЛЬТАТЫ ВЫЧИСЛИТЕЛЬНОГО ЭКСПЕРИМЕНТА

Для характеристики качества фокального изображения используются следующие величины: значения энергетической эффективности P и среднеквадратичного отклонения интенсивности δ . Величина

$$P = \frac{\iint I(\vec{x}) d^2\vec{x}}{\iint I_0(\vec{u}) d^2\vec{u}}$$

характеризует долю энергии пучка, попавшую в область фокусировки. Величина

$$\delta = \frac{1}{\bar{I}} \left[\frac{1}{|D|} \iint (I(\vec{x}) - \bar{I})^2 d^2\vec{x} \right]^{\frac{1}{2}}$$

характеризует близость распределения интенсивности $I(\vec{x})$ к постоянной величине, где $|D|$ - площадь области фокусировки, $\bar{I} = \frac{1}{|D|} \iint I(\vec{x}) d^2\vec{x}$ - среднее значение интенсивности в области фокусировки. Расчет поля от синтезированного в пункте 5 «круглого фокусатора в прямоугольник» проводился по формуле (10) при следующих физических параметрах: $\lambda = 10,6$ мкм, $f = 800$ мм, радиус освещдающего пучка $R = 20,5$ мм, размер прямоугольника фокусировки 8×4 мм. Исходный фокусатор приближался набором шестидесяти прямоугольников, полученных разбиением отрезка $[-R, R]$ с постоянным шагом. Энергетическая эффективность фокусировки в прямоугольник составила 85,4%, а среднеквадратичное отклонение интенсивности - 34,4%. На рис. 4 представлено трехмерное распределение интенсивности в фокальной области, а на рис. 5 - изофоты трехмерного распределения.

По вышеописанному алгоритму был также синтезирован фокусатор с круглой апертурой, фокусирующий освещдающий пучок круглого сечения с плоским волновым фронтом в «усеченный эллипс» (рис. 6) с постоянным распределением интенсивности («фокусатор в усеченный эллипс»).

Решив уравнение (4), получаем приближение области D набором прямоугольников

$$D_i = [x_{i-1}, x_i] \times [f_1(x_{i-1}), f_2(x_{i-1})], i = 1, N.$$

Для определения фазовой функции $\varphi_1(\vec{u}) = \varphi_{11}(u) + \varphi_{12}(v)$ прямоугольного сегмента G_i необходимо дважды решить систему уравнений вида (2).

Фазовая функция фокусатора

$$\begin{aligned} \varphi(\vec{u}) &= \sum_{i=1}^N \varphi_i(u, v) \operatorname{rect}\left(\frac{2u - (u_{i-1} + u_i)}{2(u_i - u_{i-1})}\right) \times \\ &\quad \times \operatorname{rect}\left(\frac{2v - (g_1(u_{i-1}) + g_2(u_{i-1}))}{2(g_2(u_{i-1}) - g_1(u_{i-1}))}\right) - k \psi_0(u, v), \end{aligned} \quad (5)$$

$$\text{где } \operatorname{rect}(u) = \begin{cases} 1, |u| < \frac{1}{2} \\ 0, |u| \geq \frac{1}{2}, \end{cases}$$

терпит разрывы вдоль прямых $u = u_i, i = 1, N-1$, что приводит к интерференции на стыках прямоугольников фокусировки. Для уменьшения величины интерференционных эффектов фазовую функцию $\varphi(\vec{u})$ можно сделать непрерывной вдоль некоторой кривой $v = f(u)$. Для этого положим

$$\varphi_1(\vec{u}) = \varphi_1(\vec{u}) + \tilde{\varphi}_1,$$

$$\text{где } \varphi_1 = 0, \tilde{\varphi}_1 = \sum_{j=1}^{i-1} [\varphi_j(u_j, f(u_j)) - \varphi_{j+1}(u_j, f(u_j))].$$

5. СИНТЕЗ ФОКУСАТОРА ПУЧКА КРУГЛОГО СЕЧЕНИЯ В ПРЯМОУГОЛЬНИК С ПОСТОЯННОЙ ИНТЕНСИВНОСТЬЮ

В качестве примера рассмотрим синтез фокусатора с круглой апертурой, фокусирующего освещающий пучок круглого сечения с плоским волновым фронтом в прямоугольник с постоянной интенсивностью («круглый фокусатор в прямоугольнике»).

Интенсивность освещивающего пучка имеет вид:

$$I_0(\vec{u}) = \begin{cases} I_0, \vec{u} \in G \\ 0, \vec{u} \notin G, \end{cases}$$

где $G = \{(u, v) | u^2 + v^2 \leq R^2\}$ – апертура фокусатора;

R – радиус освещивающего пучка.

Интенсивность в фокальной области $I(\vec{x}) = \begin{cases} I, \vec{x} \in D \\ 0, \text{ иначе,} \end{cases}$

где $D = [-b, b] \times [-a, a]$ – область расположения фокального прямоугольника.

В данном случае область G приближается набором прямоугольников

$$G_i = [u_{i-1}, u_i] \times [\sqrt{R^2 - u_{i-1}^2}, -\sqrt{R^2 - u_{i-1}^2}],$$

$i = 1, N, u_0 = -R, u_N = R$, а область D – набором прямоугольников

$$D_i = [x_{i-1}, x_i] \times [-a, a], \quad i = 1, N, \quad x_0 = -b, \quad x_N = b.$$

Решение уравнения (4), определяющее разбиение фокальной области, имеет вид:

$$x_i = x_{i-1} + \frac{I_0(u_i - u_{i-1})\sqrt{R^2 - u_{i-1}^2}}{Ia}, \quad i = 1, N-1.$$

Фазовая функция $\varphi_i(\vec{u})$, являющаяся геометрооптическим решением задачи фокусировки прямоугольника G_i в прямоугольник D_i , может быть легко получена из (3), причем содержит квадратичные и линейные по u, v члены. Для синтезируемого фокусатора фазовая добавка $\tilde{\varphi}_i$ выбирается из условия непрерывности фазовой функции вдоль оси u :

$$\tilde{\varphi}_j = \begin{cases} 0, & i = 1 \\ \sum_{j=1}^{i-1} [\varphi_j(u_j, 0) - \varphi_{j+1}(u_j, 0)], & 2 \leq i \leq N. \end{cases}$$

6. ДИФРАКЦИОННЫЙ РАСЧЕТ

Работоспособность вышеприведенного подхода к расчету фокусаторов может быть исследована средствами вычислительного эксперимента. В связи с этим ниже будет рассмотрен метод дифракционного расчета поля от синтезированных фокусаторов плоского пучка в область с постоянным распределением интенсивности. Для расчета поля в фокальной области будем использовать параксиальное приближение интеграла Кирхгофа

$$W(\vec{x}) = \frac{ke^{ikf}}{2\pi if} \int_G \int A(\vec{u}) e^{ik\psi(\vec{u})} e^{\frac{ik}{2f} (\vec{x}-\vec{u})^2} d^2 \vec{u}, \quad (6)$$

где $W(\vec{x})$ – комплексная амплитуда в плоскости фокусировки;

$A(\vec{u})$ – амплитуда падающего пучка;

$k\psi(\vec{u})$ – фаза пучка за фокусатором.

Будем предполагать интенсивность освещающего пучка постоянной, $A(\vec{u}) = A_0$, а волновой фронт – плоским, $\psi_0(\vec{u}) = 0$. Фазовую функцию фокусатора $\varphi(\vec{u})$ считаем определенной согласно равенству (5). Тогда, по равенству (6), поле в фокальной области можно представить в виде:

$$W(\vec{x}) = \frac{ke^{ikf}}{2\pi if} A_0 \sum_{j=1}^N \int_{G_j} \int e^{i\varphi_j(\vec{u})} e^{\frac{ik}{2f} (\vec{x}-\vec{u})^2} d^2 \vec{u}, \quad (7)$$

где $\varphi_j(\vec{u})$ – фазовая функция сегмента G_j .

Учитывая факторизуемость функций $e^{i\varphi_j(\vec{u})} = e^{i\varphi_{j1}(\vec{u})} e^{i\varphi_{j2}(\vec{v})}$, $j = 1, N$, выражение (7) приводят к виду:

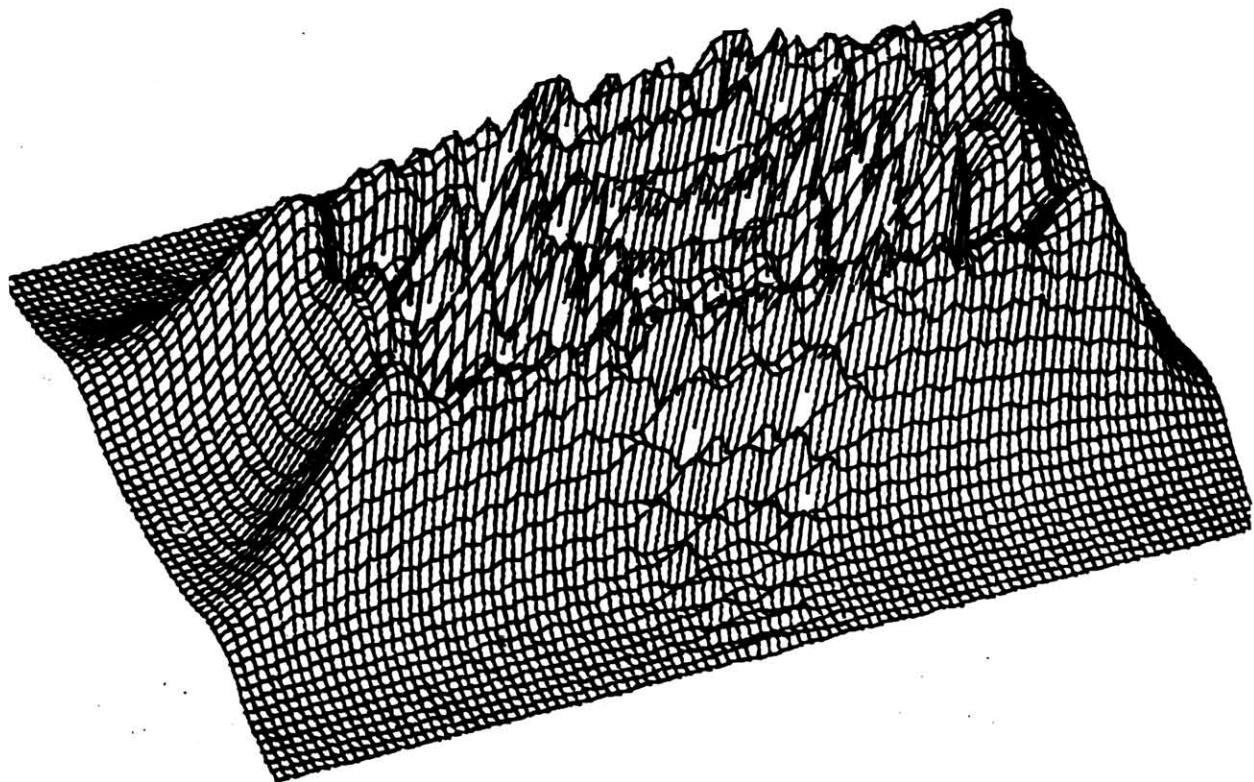


Рис. 4. Распределение интенсивности в фокальной плоскости фокусатора в прямоугольник

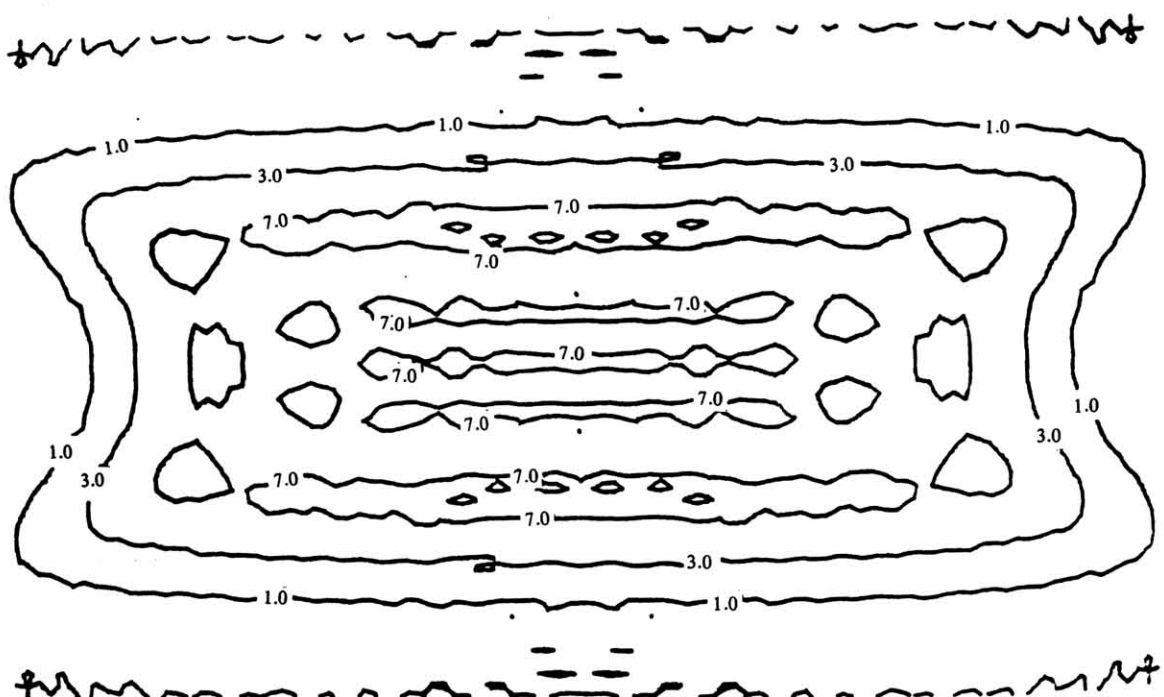


Рис. 5. Изофоты распределения интенсивности в фокальной плоскости фокусатора в прямоугольник

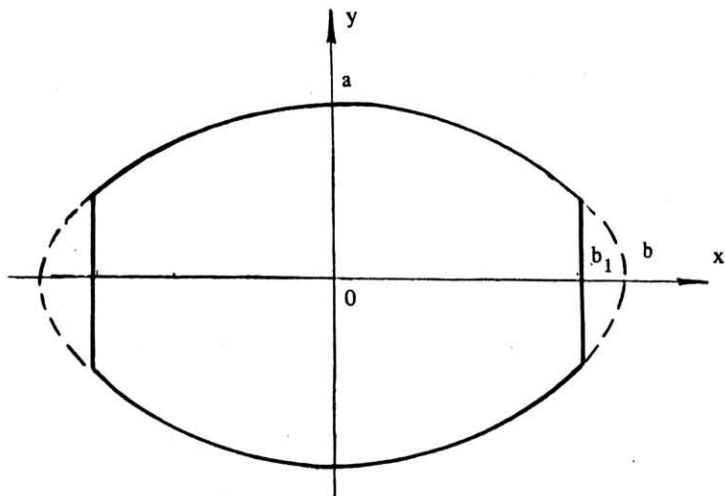


Рис. 6. "Усеченный эллипс"

Расчет поля от «фокусатора в усеченный эллипс» проводился по формуле (10) при $\lambda = 10,6 \text{ мкм}$, $f = 800 \text{ мм}$, радиусе освещдающего пучка $R=20,5 \text{ мм}$ для следующих характерных размеров усеченного эллипса: $a = 2 \text{ мм}$, $b = 4 \text{ мм}$, $b_1 = 3,5 \text{ мм}$. Энергетическая эффективность фокусировки в усеченный эллипс составила 87,6%, а среднеквадратичное отклонение интенсивности - 38,2%.

На рис. 7 представлены изофоты трехмерного распределения интенсивности при фокусировке в усеченный эллипс.

Результаты вычислительного эксперимента подтверждают работоспособность разработанного метода «согласованных прямоугольников» при геометрооптическом расчете сложных фокусаторов.

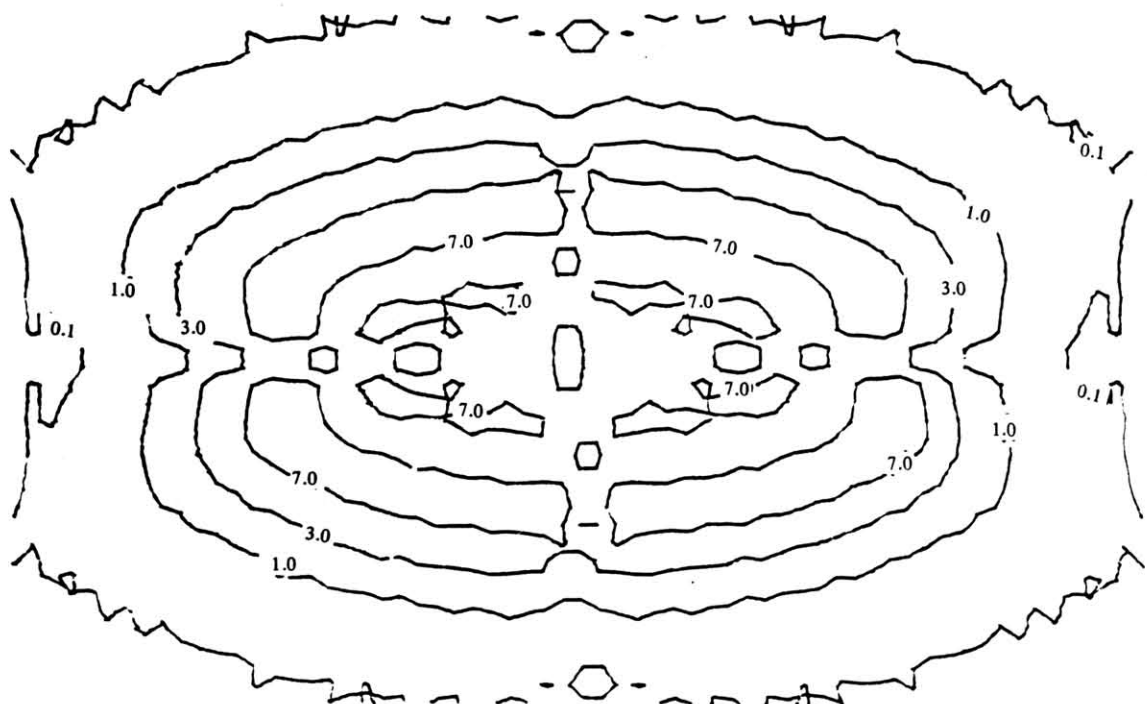


Рис. 7. Изофоты распределения интенсивности в фокальной плоскости "фокусатора в усеченный эллипс"

Литература

1. Гончарский А.В., Данилов В.А., Попов В.В., Прохоров А.М., Сисакян И.Н., Соффер В.А., Степанов В.В. Решение обратной задачи фокусировки лазерного излучения в произвольную кривую. // ДАН АН СССР, 1983, т. 273, № 3, с. 605 - 608.
 2. Данилов В.А., Попов В.В., Прохоров А.М., Сагателян Д.М. Сисакян И.Н., Соффер В.А. Синтез оптических элементов, создающих фокальную линию произвольной формы // Письма в ЖТФ - 1982 , т. 8, вып. 13, с. 810 - 815.
 3. Данилов В.А., Попов В.В., Прохоров А.М., Сисакян И.Н., Сисакян Е.В., Сагателян Д.М., Соффер В.А. Оптические элементы, фокусирующие когерентное излучение в произвольную фокальную линию. // Препринт № 69, М.: ФИАН СССР, 1983 - 41 с.
 4. Гончарский А.В., Степанов В.В. Обратные задачи когерентной оптики. Фокусировка в линию. // ЖВМ и МФ. 1986, т. 26, № 1, с. 80 - 91.
 5. Гончарский А.В., Данилов В.А., Попов В.В., Прохоров А.М., Сисакян И.Н., Соффер В.А., Степанов В.В. Плоские оптические элементы для фокусировки лазерного излучения. // Сб. «Волны и дифракция - 85». Девятый Всесоюзный симпозиум по дифракции и распространению волн. Телави, 1985, т. 2, с. 420 - 423.
 6. Воронцов М.А., Матвеев А.Н., Сивоконь В.П. К расчету фокусаторов лазерного излучения в дифракционном приближении. // Компьютерная оптика. 1987, № 1, с. 74 - 78.
 7. Березный А.Е., Сисакян И.Н. Синтезированные фазовые элементы для интегральных преобразований когерентных оптических полей. // Компьютерная оптика. 1989, с. 21 - 23.
-
-